

III-455 ジオテキスタイルで補強した軟弱地盤上の盛土の安定解析について

○ 東京工業大学 大学院 廣岡 明彦
 東京工業大学 工学部 木村 孟
 東京工業大学 工学部 斎藤 邦夫

1. はじめに

東京工業大学土質研究室では、不織布系ジオテキスタイルで補強した軟弱地盤について、その力学挙動を明確にし合理的設計法を提案するため、遠心力載荷装置を用いて種々実験を行ってきた。その結果、ジオテキスタイルの補強効果が十分にあること、盛土荷重付与時にジオテキスタイルと地盤の間に摩擦力が働くことなどが地盤補強に大きく寄与することなどを明らかにした。今回は 軟弱地盤上の補強盛土の極限鉛合設計法を参考にし、図-1 で示すジオテキスタイルで補強した地盤の安定解析を試みた。

2. 極限鉛合法による安定計算

今回行なった安定計算は、円形すべり面を仮定した $\phi_u = 0$ 法による安定解析を基本としたものである。図-2 に示すごとく、ある盛土荷重に対する任意のすべり円の中心を (x, y) とすると、地盤及び盛土材のみの抵抗モーメント M_r は(1)式の様に表される。即ち、

$$M_r = R \int_A^B (R d\theta) C_u + f \cdot R \quad \dots (1)$$

ここで C_u は粘性土の非排水剪断強度であり、 f は盛土材の剪断抵抗である。仮定したすべり円が補強材を横切る位置でのジオテキスタイル内に発生する引張力を P_r とすれば、補強により増加した全抵抗モーメント M_r^* は、

$$M_r^* = M_r + P_r \cdot Y_r \quad \dots (2)$$

である。

また、盛土荷重によるすべりモーメントを M_d とし、この時のすべり破壊に対する安全率を F とすると、

$$M_d = W \cdot d \quad \dots (3)$$

$$F = M_r^* / M_d \quad \dots (4)$$

となる。

ここで、 $F \geq 1$ であれば 粘性土地盤内のすべり破壊が生じないと仮定する。即ち、(2), (3), (4) より

$$\frac{M_r + P_r \cdot Y_r}{M_d} \geq 1 \quad \dots (5)$$

$$\therefore P_r \geq \frac{M_d - M_r}{Y_r} \quad \dots (6)$$

ならば、破壊しないとするのである。すべり破壊が生じたためにジオテキスタイルが發揮しなければならない最小の力を $P_{req.}$ とすると、それは次の様に表される。即ち、

$$P_{req.} = (M_d - M_r) / Y_r \quad \dots (7)$$

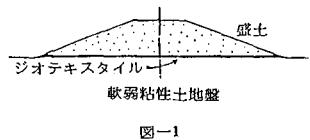
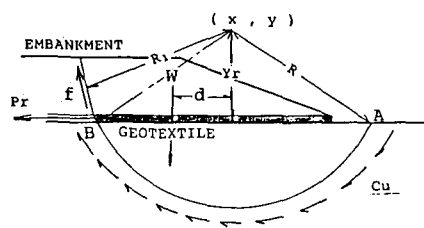


図-1



EMBANKMENT

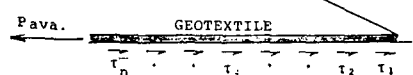


図-2 Key sketch of stability analysis.

任意のスベリ円に対し M_d , M_r , Y_r を算出することにより、この P_{req} の値を求めることができる。

次に、ジオテキスタイルが發揮し得る最大の力 P_{ava} について考える。この値は粘性土地盤とジオテキスタイルとの相互作用によって決まって来る物と思われるが、ここでは P_{ava} としてジオテキスタイルの強度か地盤とジオテキスタイルとの間に働く摩擦力かのどちらか大きい方を採用する事にする。即ち

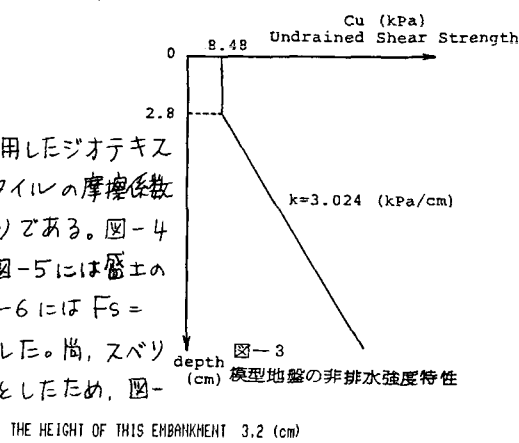
$$P_{ava} = \min [T_a, \sum T_{adl}] \quad \dots \quad (8)$$

$$\sum T_{adl} = \int_0^d \mu c_u dl \quad \dots \quad (9)$$

ここで T_a はジオテキスタイルの引張り強度であり、 μ は粘性土とジオテキスタイルの間の摩擦係数で、 c_u は盛土による載荷圧力である。

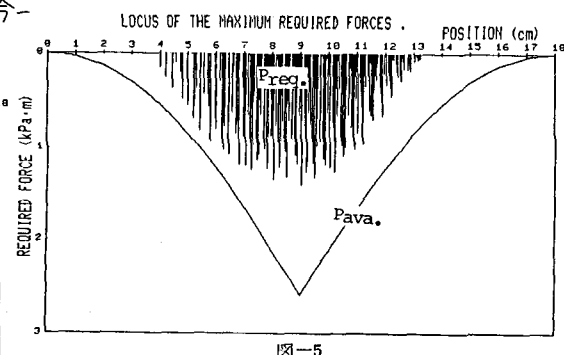
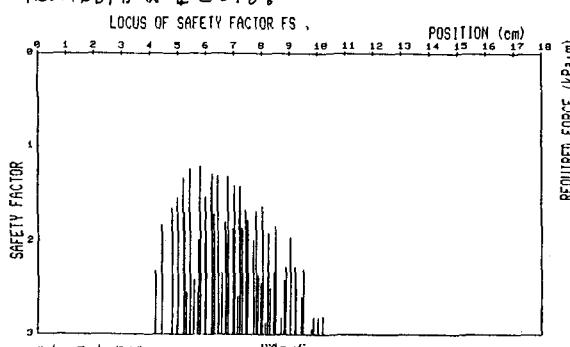
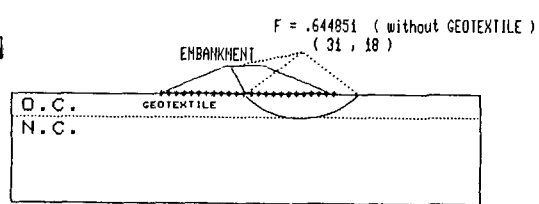
3. 安定計算の結果

実際に得た計算結果の一例を以下に示す。計算に使用したジオテキスタイルの諸元は引張強度 4.24 kN/m^2 、粘性土とジオテキスタイルの摩擦係数 0.5 であり、粘性土の非排水剪断強度は図-3に示す通りである。図-4には無補強地盤の場合に安全率が最小となる臨界円を、図-5には盛土の左端を基準とした各位置での P_{req} , P_{ava} を示した。図-6には $F_s = P_{ava}/P_{req}$ で定義した安全率を図-5と同様にして示した。尚、スベリ円を仮定する際、盛土の右側のみにその中心が存在するとしたため、図-5, 6 は左右対称ではない。



4.まとめ

実験では、盛土の載荷圧力が 95 kPa に達した時、側方流動と盛土下の沈下が顕著となるのが観察された。この解析では、臨界円の位置と新たに定義した安全率 F_s の最小を与えるスベリ円とは異なり、ものとなる。だが、どちらがより現実的であるかは今のところ残念ながら断定できない。 F_s の値に対する評価を下すには今一度の検討が必要である。



- 1) 高橋・村井・高橋・永野・加藤：(1985)「高伸度ジオテキスタイルを補強した地盤の力学挙動」、第30回国土質工学シンポジウム昭和60年発表論文集
- 2) 廣田・本村・高橋・太田：(1986)「不透水系ジオテキスタイルを補強した軟弱地盤の盛土荷重による変形について」、第21回国土質工学研究発表会
- 3) Jewell, R.A.: (1982) "A limit equilibrium design method for reinforced embankments on soft foundation." The 2nd International Conference of Geotextiles, vol.3, P671~676.
- 4) 中瀬明男：(1966)「粘性土地盤の支持力」、港湾技術研究報告 Vol.5, No.12